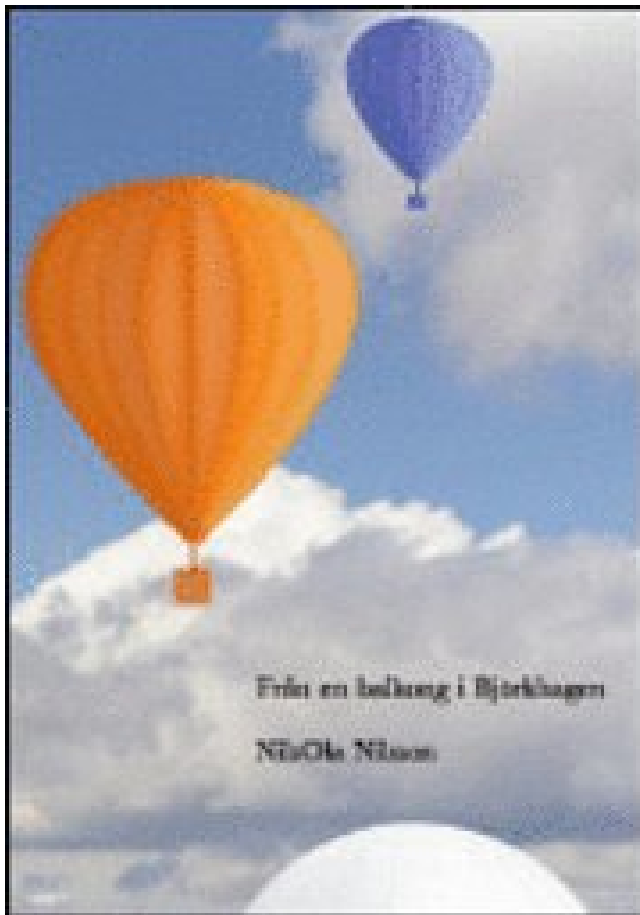


## Från en balkong i Björkhagen PDF ladda ner LÄSA



LADDA NER

LÄSA

Författare: Nils Ola Nilsson.

## **Annan Information**

Vi kombinerar befintliga och nyligen samlade observationer och kompletterande källreceptormetoder (dvs. utsläppsfördelningar för stadsförbättringsutsläpp, multivariata modeller som PMF) i representativa områden i EMB: Beirut (Libanon), Istanbul (Turkiet), Kairo (Egypten) mer nyligen, Aten (Grekland). Blandningsförhållandena var högst på vintern med maximala värden närmar sig  $600 \text{ I}^{\wedge} \text{ mol.mol}^{-1}$  under atmosfäriska inversioner. Källparametrarna (dvs. källplats och utlösningshastighet) rekonstrueras från en ändlig uppsättning punktmätningar av koncentration som erhållits från vissa sensorer och de tillhörande funktionerna beräknas från en CFD-modell fluidyn-PANACHE som kan

representera den geometriska och flödeskomplexiteten som är inneboende i stadsregionerna. Därför kan vi dra slutsatsen att den rekonstruerade AOD-tidsserien fångar väl AOD-variationerna och dammbelastade Saharanmassan vid utbrott på kort och lång sikt och är därför lämplig att användas vid klimatanalys. Förhållandena mellan malon och bärnstenssyra i koldioxidutsläpp (med undantag av bensingeneratorutsläpp) var lägre (0,07-0,44) än omgivande PM10-prov (0,61-3,93), som kan användas för att kvalitativt differentiera primärkällan och sekundärkällan för dikarboxylsyror i urbana PM10. Strukturen är en murad inhägnad på en upphöjd plattform. Aerosolpartiklar bidrar avsevärt till förorening av stadsluft.

Det finns nu en verklig oro för hållbarheten i regionens förmåga att stödja befolkningen på grund av luftföroreningar, förlust av biologisk mångfald och markförstöring. Dessutom och på grund av förekomsten av olika aerosoltyper över Medelhavsregionen, såsom mineralstoffpartiklar (mestadels transporteras från Saharas öken), antropogena aerosoler (på grund av stads- och industriaktiviteter huvudsakligen från dess norra kontinentala gränser) men även biomassa brinnande aerosoler från skogsbränder och marina aerosoler, kommer atmosfäriska partiklar sannolikt att ha en betydande inverkan på det regionala klimatet och den hydrologiska cykeln över Medelhavsområdet. Formaldehydutbytet från fotooxideringen av isopren som avges av vegetationen uppskattades vara i intervallet 0,63-3,62 Igm<sup>-3</sup> från maj till augusti, vilket stod för 28,8-33,4% av omgivande formaldehyd. Den är byggd som en multi-hybrid detektor som mäter omfattande luftduschar med olika tekniker. Haringe Slots rum är unikt inredda och. 9,9 km 6.2 Mi SEK 1327 USD 162 EUR 132. Över 808 000 ATLAS9-modeller beräknades spänna över temperaturer från 3500 K till 30 000 K och loggg från 0 till 5, där större temperaturer endast har höga gravitationer. Sierra Negra Cosmic Ray Observatory består av ett sol neutron teleskop och scintillator kosmisk strålteleskop.

Värmestressklimatologin indikerar att stadseffekterna liknar värmespanningen i topp 5% heta dagar och 11 somrar under dagtid. De atmosfäriska data används i stor utsträckning vid återuppbyggnaden av luftduschar och är särskilt viktiga för korrekt bestämning av duschenergi och djupet av duschmaxima. Fyra mikrofysiska system, bland annat som föreslagits av Reisner et al. (1998) med ursprungliga eller modifierade parametrar av partikelterminal fallhastigheter (Zurovac-Jevtic och Zhang 2003, Heymsfield och Donner 1990) och det förenklade Dudhia (1989) -schemat utvärderas i denna studie.

De dominerande transportfunktionerna är ganska lika från år till år, och inkluderar frekventa sommartidens östliga flöde som är förknippade med vindvindarna och starkt vinterströmsflöde nära medeltaxeln för den subtropiska jetströmmen. Övervakningsplatserna kännetecknas av en annan exponering för trafikutsläpp, vilket möjliggör bedömning av denna källans roll på både PM-koncentrationsnivåer och fördelning av partikelstorlek. Yt- och rymdbaserade aktiva sensorer inklusive radar och lidar är idealiska för att ge denna information på grund av sin överlägsna förmåga att upptäcka moln och hämta molnmikrofysiska egenskaper. För analysen av dessa prover utfördes elektrokemiska tester för beräkning av korrosionshastigheten och polariseringsresistensen, även den gravimetriska metoden utfördes för att jämföra vad massmängden förlorade under exponeringstiden för var och en av proverna. Vi kommer att visa i denna presentation att de dagliga isotopvariationerna är förknippade med en stark blandning av luftmassor. Utbyggnaden av ATMOS är ett viktigt bidrag till fältkampanjer, som kompletterar de fasta platserna, och ett potentiellt alternativ för flygburna plattformar, tyngre och dyrare. Det ska definitivt installeras om våren 2015 efter en uppdatering av maskinvaran.

Stadsbalkakan är en receptor för att avlägsna PM10 från atmosfären på grund av de stora ytor

som genereras av löv och luftturbulens som skapas av stadsskogens struktur. I mer än ett sekel var det världsledande inom astrometri, med sådana prestationer som pub. Våra resultat visar att DON är en viktig, men ändå underdriven komponent av TDN-deponering i tropiska skogsområden, som omfattar en tredjedel till mer än hälften av N som deponeras i regn och genomfall. Proverna analyserades för elementala koncentrationer medelst instrumentell neutronaktiveringsanalys. Dessa medelvärden har visat en stadig ökning i årlig genomsnittskoncentration från 316 delar per miljon volym (ppmv) år 1959 till 346 ppmv år 1986. Även om det nya tillvägagångssättet visar sig ha en försumbar inverkan på vindprofiler i stadsytan, förbättrar det förutsägelsen av nära neutrala nattliga profiler av potentiell temperatur nära ytan. De valda potentialerna var rimligt överensstämmande med de in situ mätningarna av markprover samlade på omgivande grönutrymme i 0-1 cm djup. Även om himlen kan se klart, orsakar de gaser som utgör vår atmosfär problem för astronomer. Totalt genomfördes 10 intensiva observationsperioder (IOP) inom fältförsöken från 2003. SF6. Från dessa utsläppsförhållanden uppskattar vi absoluta emissionsflöden av dessa arter genom att använda en befintlig CO<sub>2</sub>-inventering.

De fyra flussablarna är alla ovanför AR: ns neutrala linje, med ändpunkter förankrade i samma region och har en allmänt liknande morfologi. Ett nätverk av 8 platser med AERONET solfotografer mäter aerosoloptiskt djup (AOD) och härleder aerosolstorleksfördelning och optiska egenskaper. Den systematiska förbättringen av de simulerade atmosfäriska förhållandena tack vare nudningssystemet är avgörande för att identifiera och hämta källplatser med hög upplösning över området. Denna forskning stöds av bidrag från NASA MU-SPIN, NASA Space Science och NSF LSAMP. Trots att förståelsen av stadseffekter på klimatet är ofullständig har det under det senaste årtiondet mycket lärt sig hur urbaniseringen förändrar klimatsystemet på mikro-, lokal- och meso-skala samt variationen både inom och mellan städer. Spårelementkoncentrationer av trädbark med mer än 73 träd gör det möjligt att belysa effekterna av tidigare luftföroreningar i stadsmiljön i städerna Strasbourg och Kehl i Rhen-dalen. Dessutom är fjärranalyserad temperatur- och fuktighetsinformation ovärderlig för att bedöma stadsvärmeö påverkas rumligt och temporärt. Både dag- och höjdvariationer av koncentrationer av koldioxid härrörande från biomassa, fordonsutsläpp och kolförbränning bestämdes vidare för atmosfärisk koldioxid i Jiading-distriktet i Shanghai. Vi analyserar ljuskurvorna av coronal loopar och diffusa corona i sex olika AIA-kanaler och jämför dem med de förutsagda ljuskurvorna från teoretiska modeller. Evermore under den andra kampanjen har de två CI jämförts med en bulkprovtagare (laddad med Whatmann 41) och ett automatiskt övervakningssystem (TEOM). Kim et al (2014, GCA) finner att vinterhöglödet grundvattenkemi styrs av relativt snabbreaktiva katjonbytesprocesser, som sannolikt uppträder i transit i den omättade zonen.

SCR-kemi är känd att producera HNCO som en mellanprodukt och SCR-system har blivit implicerade som en atmosfärisk källa till HNCO. Syftet med detta projekt är att bedöma flödena energi, vatten, koldioxid och partiklar i stadsmiljön och utveckla ett DSS (Decision Support System) för att hjälpa stadsplanerare i hållbar utveckling. Egenskaperna hos de upphetsade vågorna beror starkt på de lokala plasmaförhållandena och magnetfältförhållandena. Sådan information kommer att fördjupa vår förståelse för utvecklingen av dimma och dimmaföroreningar i Kina, vilket kommer att hjälpa regeringen att upprätta en effektiv kontrollstrategi för förebyggande av luftföroreningar. Dessutom utsluter många in situ aerosolmätningar den grova fraktionen, som kan vara mycket viktig i och nedåt i ökenområdena. De celestia gammastråle- och kosmisk-strålningsflödena samlades också in

och studerades för att lära sig mer om universums mysterier. Detta stämmer överens med en befolkningstillväxt i huvudstadsregionen i Lissabon och därmed stadsaktivitet, främst trafik. Faktum är att en långvarig värmevågperiod som ses under sommaren 2006 korrelerade väl med en längre tid och den dagliga UHI i NYC nästan fördubblades.

Två djupgående simuleringar och en djupgående simulering utfördes med hjälp av castellerade barriärväggar, virvelgeneratorer och en hämtning av grovhetsselement. Att lära sig hur värmeböljor och antropogena tvingningar i städer kollektivt påverkar de sårbara invånarnas hälsa är ett problem när det gäller att bygga termodynamik, mänskligt beteende och grannskapsskala och atmosfärvetenskapliga gatunivåer. ANSYS Fluent Software användes som huvudmodelleringsverktyget. I detta dokument diskuteras motivationen för skapandet av programmet, dess finansiering, hur personal anställdes, sparkades och behölls och valet och utvecklingen av det specifika spektroskopiska programmet. Elementskompositionen och koncentrationerna av dessa element bestämdes med användning av GUPIX. Även om det är känt att per capita koldioxidavtryck av kompakta städer, som New York, Boston och San Francisco, är mindre än utbredda städer, som Houston, är styrkorna hos enskilda källor i dessa städer inte kända.

Enkla parametervärden inklusive ytgrorhet och materialkomposition, antal förekommande torrdagar, regnintensitet och vattenkvalitet vid uppbyggnad av föroreningar och avfallsutbyten kunde undersökas. Under sommarmätningarna räknar partikelantalet (PNC). Snarare är dessa processer korrelerade med markegenskaper som organisk jord i jorden. Återhämtning från dessa utstötningar tar så mycket som 8 år och återhämtningskurvan är linjär. WinMon-medelvärdet för aerosoloptiskt djup (AOD) och angstrom exponent (AE) hos Kol var respektive något högre än och nästan lika med det vid Kgp. Bland de betraktade arterna är CO, CH<sub>4</sub>, acetylen (C<sub>2</sub>H<sub>2</sub>), bensen (C<sub>6</sub>H<sub>6</sub>) och C<sub>3</sub>-C<sub>5</sub>-alkaner. CTM förutspådde också att dagliga medelvärden av H<sub>2</sub>CO uppnådde maximalt 110 pptv men var en storleksordning lägre än 1 ppbv-nivån som kan associeras med fysiologiska effekter hos människor. Vidare på denna nedre montana Atlantskogsplats var DIN-flödet genomgående 1,5-3 gånger högre än den föreslagna empiriska kritiska belastningen för fuktiga tropiska skogar, vilket lyfter fram potentialen för att öka N-föroreningen från MRRJ till påverkan N-cykling i angränsande ekosystem.

En funktion i W29 verkar ha en diameter av 0,3 millisek ljusbåg och en ljushetstemperatur på  $1,4 \times 10^{15}$  till den 15:e effekten K. Två nära infraröda takometrar (Jenoptik CHM15K) vertikalt och horisontellt sonderande (endast vertikala profiler diskuteras) användes under SAPUSS och jämfördes med potentiella temperaturprofiler som mättes med dagliga radiosounding (midnatt och middag) för att tolka gränsskiktstrukturen i stadsområdet av Barcelona. Analys av VOC vindriktningsberoende, utsläppsförhållanden med spårföreningar och vertikala profiler upp till 250 m medförde regionala naturgasproduktionsaktiviteter som källa till de förhöjda VOC i nordost av BAO och utsläpp av förbränningsutsläpp som huvud VOC-källan i söder av BAO. SAETTA har stor vetenskaplig potential inom ett brett spektrum av ämnen: utsläppsfysik; övervakning och simulering av stormsystem. Data från observatoriet används för en mängd olika vetenskapliga ändamål, både rena och tillämpade. Bland dessa har en utarmning av stratosfäriska ozonskiktet väckt stor uppmärksamhet från allmänheten, politiker och forskare på grund av dess viktiga inverkan på hela den globala biosfären. Uppbyggnaden av objektiva system för atmosfärsmodellering och väldefinierade tidigare fel kvarstår ett kritiskt steg i övervakningen av luftmängden över stadsområden.

Heterogena reaktioner, huvudsakligen på ytfilmer men också på atmosfäriska partiklar, svarade för upp till 75% av de reaktiva förlusterna av lägre volatilitets-PAH, vilka ackumuleras i kondenserade faser. De nationella kartläggningsorganisationerna har spelat rollen som den stora geospatiala samlaren har flyttat mot den övervägande datainsamlingsmetoden för offentlig deltagande. Högfrekvenskomponenterna i bilden extraheras för att beräkna indexvärdena genom att använda Sobel-operatören och FFT. En ryggbana visar att källorna till den höga TGM-koncentrationen låg i den låga atmosfären (500 m) associerades med låga TGM-koncentrationer. Här presenterar vi ett koncept för genomförandet av en långsiktig strategi för att övervaka de viktigaste klimat- och ekosystemparametrarna i centrala Arktis året runt och synkront. Kap Verde Atmospheric Observatory ligger i det nordatlantiska handels vindsystem. Analysen avslöjade genomsnittliga punktkällans bidrag till GEM, PHg och RGM-koncentrationsmätningar för att vara signifikanta under årets långa studier.